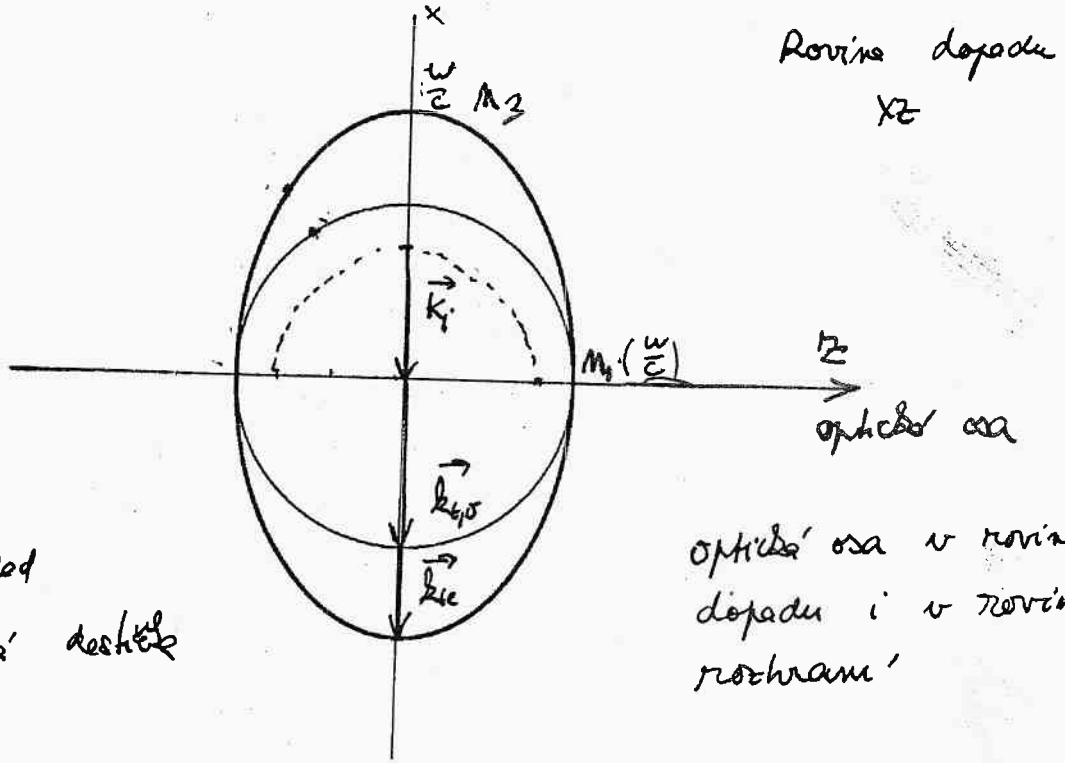
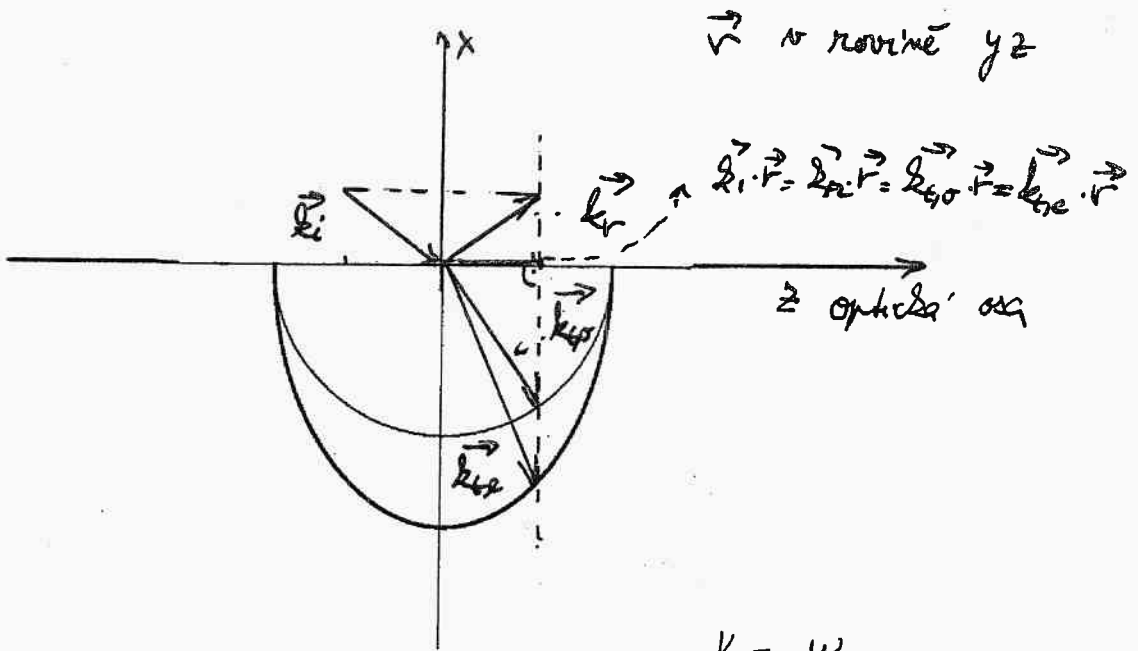


Lom na rovinném rozhraní, optická osa v rovině dopadu a v rovině rozhraní



Kulový dopad  
- fázová deska

optická osa v rovině dopadu i v rovině rozhraní



$$k = \frac{\omega}{c} \cdot n$$

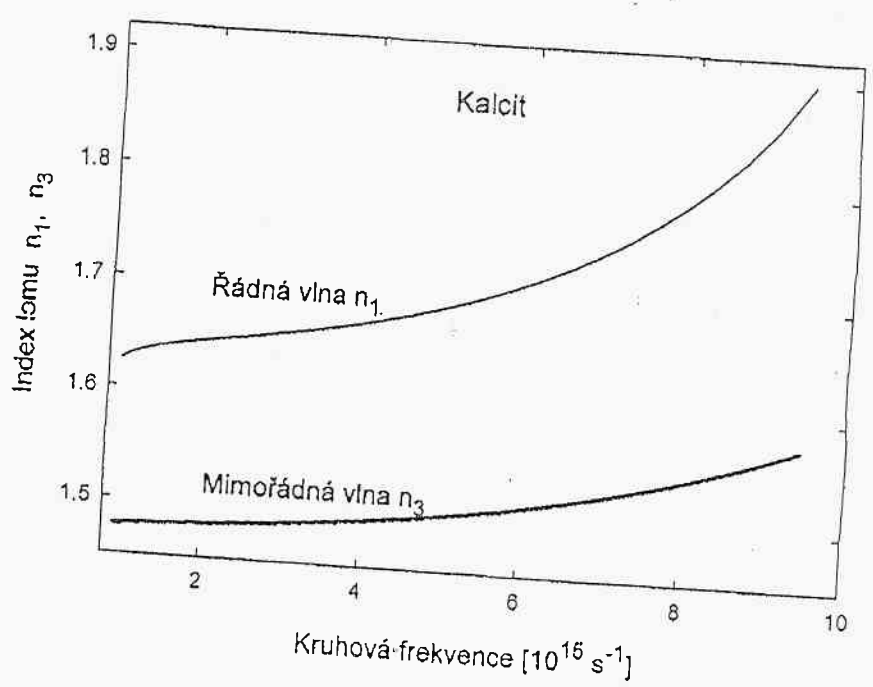
$\gamma = \alpha'$ , kde  $\alpha'$  je úhel charakterizující směr šíření vlny  $\vec{S}_0$  ( $\dots \vec{E}_0$ ) vůči optické ose.

Důležité je také, že monochromat. světlo  $\vec{S}_0$  a monochrom. pláň vlny směr šíření energie.

Příklady jednoosých materiálů  
 Indexy lomu uvedeny pro  $\lambda = 589,3 \text{ nm}$

|                              |               |               |
|------------------------------|---------------|---------------|
| krámen ( $\text{SiO}_2$ )    | $n_o = 1,544$ | $n_e = 1,553$ |
| vápenec ( $\text{CaCO}_3$ )  | $n_o = 1,652$ | $n_e = 1,486$ |
| led ( $\text{H}_2\text{O}$ ) | $n_o = 1,309$ | $n_e = 1,313$ |

Indexy lomu  $n_o$  a  $n_e$  jsou funkce frekvence



Frekvence závislost  $n_o$  a  $n_e$  pro kalcit.  
 Zobrazeno pro  $n_o = n_1$ ,  $n_e(\omega) \text{ v ose } x = n_3$

# Kompensátor

Dvostrana s vyleštěnými vstupními a výstupními plochami, která je vyřezána tak, že optická osa materiálu je rovnoběžná se vstupní plochou.

V tomto případě, dopadne-li světlo na dvostranu kolmo, šíří se krystalem řádně a mimoriádně nlně. Každé se šíří s jinou fázovou rychlostí!

Ma-li jejich délka v dvostraněm krystalu délku  $d$ , dojde k fázovému posunu

$$(\epsilon_e - \epsilon_o) \cdot d = \frac{\omega}{c} (n_e - n_o) \cdot d = \Delta\varphi = \varphi_e - \varphi_o$$

Často používáme případy jím

$$\Delta\varphi = \pi \quad (\Delta\varphi = \pi \Leftrightarrow \Delta x = \frac{\lambda}{2})$$

Polovlnná dvostrana

$$\Delta\varphi = \frac{\pi}{2} \quad (\Leftrightarrow \Delta x = \frac{\lambda}{4})$$

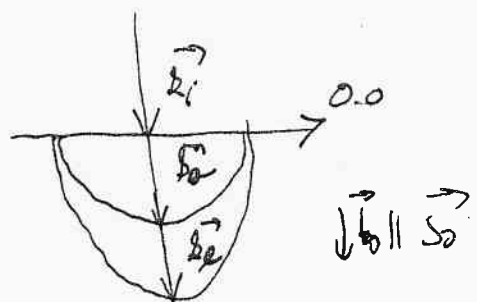
Čtvrtlnná dvostrana

Vliv těchto optických prvků na polarizaci stav světla jímě polarizaci a vřsti v polarizaci.

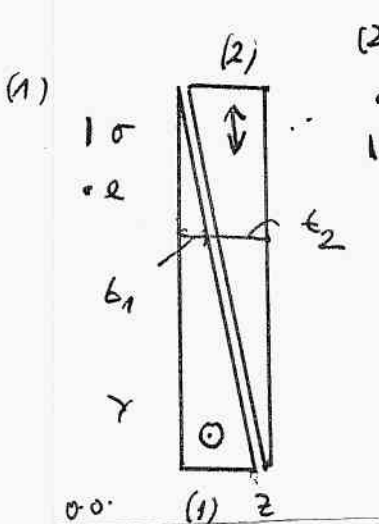
Obecný fázový posun ... buď dvostraně ručně tloušťky nebo tzv. Kompensátor.

$\vec{S}_o$  ... směr šíření  $\vec{k}$

$\vec{t}_o$  ... směr šíření energie v mimoriádně nlně (Poyntingův vektor)



Strojná a polárná fáza' destička jsou speciálním případem obecnějšího prvku, kterým lze nastavit libovolné fáze' zpoždění mezi náčnou a mimořádnou vlnou



(2) Babinetův kompenzátor

1 2  $\odot$  ... optická osa  $\perp$  k rovině

$\updownarrow$  ... optická osa v rovině

tloušťky: délka 1  $\rightarrow$   $t_1$

2  $\rightarrow$   $t_2$

Babinetův kompenzátor je tvořen dvěma částmi s navzájem kolmými orientacemi optických os.

Z předchozího výkladu víme, že náčny paprsek je polarizován  $\parallel$  s optickou osou, mimořádný paprsek je polarizován kolmo na optickou osu. V obou částech jsou tedy paprsky měňozene'.

Náček fáze paprsku 1

$$\varphi_1 = (n_o t_1 + n_e t_2) \cdot \frac{2\pi}{\lambda_0}$$

Náček fáze paprsku 2

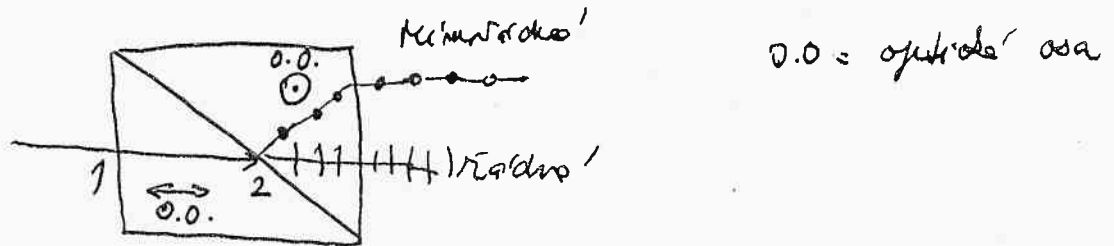
$$\varphi_2 = (n_e t_1 + n_o t_2) \cdot \frac{2\pi}{\lambda_0}$$

$$\Delta\varphi = \varphi_1 - \varphi_2 = \frac{2\pi}{\lambda_0} (n_e - n_o) \cdot (t_2 - t_1)$$

$\Delta\varphi$  lze měnit nastřímením posunem částí.

Dvojčermné materiály - založený na skutečnosti, že se řádný a mimorádný paprsek v dvojčermném materiálu šíří různými směry.

Např. Rochonův polarizační hranol



V bodě 1 dopadá vlna na dvojčermný materiál (jednoosý). Při šíření podél optické osy se obě vlny lineárně polarizace šíří stejnou rychlostí  $\rightarrow$  nedochází k lomu a vlna dospeje nezměněna k bodu 2. Zde je optická osa v rovině rozhraní, takže se rovinně dopadne. Jelikož je přechod o rozhraní dvou stejných materiálů, takže vlna se neláme a šíří se s indexem  $n_o$  (je polarizována  $\perp$  na optickou osu). (tj. no rovnou hloubce než dle  $\vec{s} \parallel \text{O.O.}$ )

Mimorádná vlna (polarizována  $\parallel$  s optickou osou) se šíří za rozhraním s indexem lomu  $n_e$ .

Jelikož jsou indexy lomu před rozhraním

( $n_e = n_o$  ... šíření podél O.O.) a za rozhraním

( $n_e \neq n_o$  ... šíření  $\perp$  na O.O.) různé, dochází

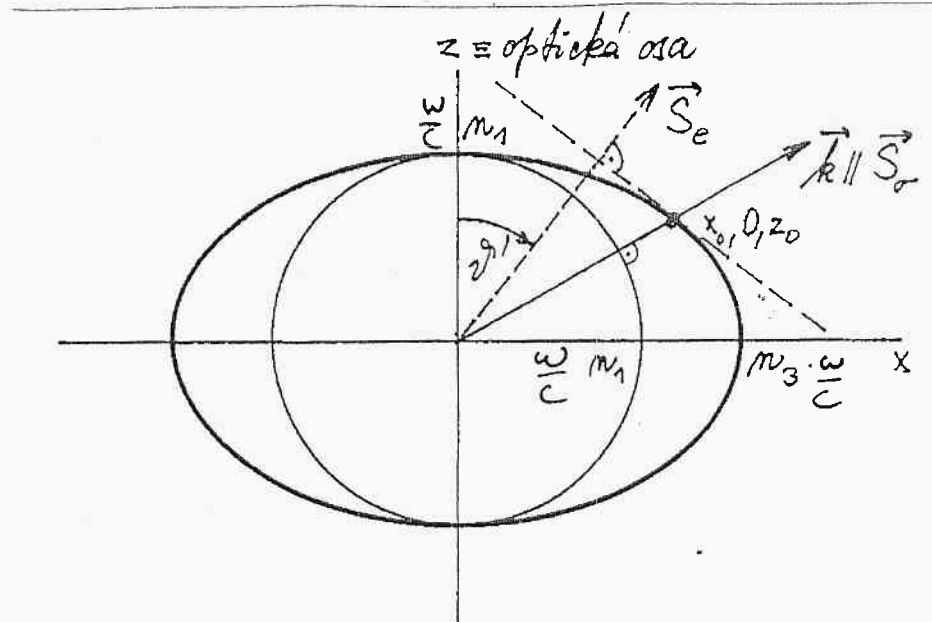
k lomu.

$$n_o \sin \alpha = n_e \sin \beta$$

$\Rightarrow$  Oba směry jsou prostorově odděleny (před tím vstupní směr nast. úměrně!)

Dodatek - indexový elipsoid a porovnání s  
normálovou plochou (indexová plocha,  $\Sigma$  plocha)

Normálová plocha - vyjádření závislosti indexu lomu  
na směru  $\vec{k}$



$$1 = \frac{x^2}{n_3^2} + \frac{y^2}{n_2^2} + \frac{z^2}{n_1^2}$$

Indexový elipsoid (optický indikátor) - vyjádření  
indexu lomu na směru  $\vec{D}$  ( $\vec{D} \perp \vec{k}$ )

$$w_e = \frac{1}{2} \vec{E} \cdot \vec{D} = \frac{1}{2} (E_x D_x + E_y D_y + E_z D_z) =$$

$$D_x = \epsilon_0 \epsilon_1 E_x \quad = \quad \frac{1}{2\epsilon_0} \left( \frac{D_x^2}{\epsilon_1} + \frac{D_y^2}{\epsilon_2} + \frac{D_z^2}{\epsilon_3} \right)$$

$$D_y = \epsilon_0 \epsilon_2 E_y$$

$$D_z = \epsilon_0 \epsilon_3 E_z$$

$$\epsilon_1 = n_1^2$$

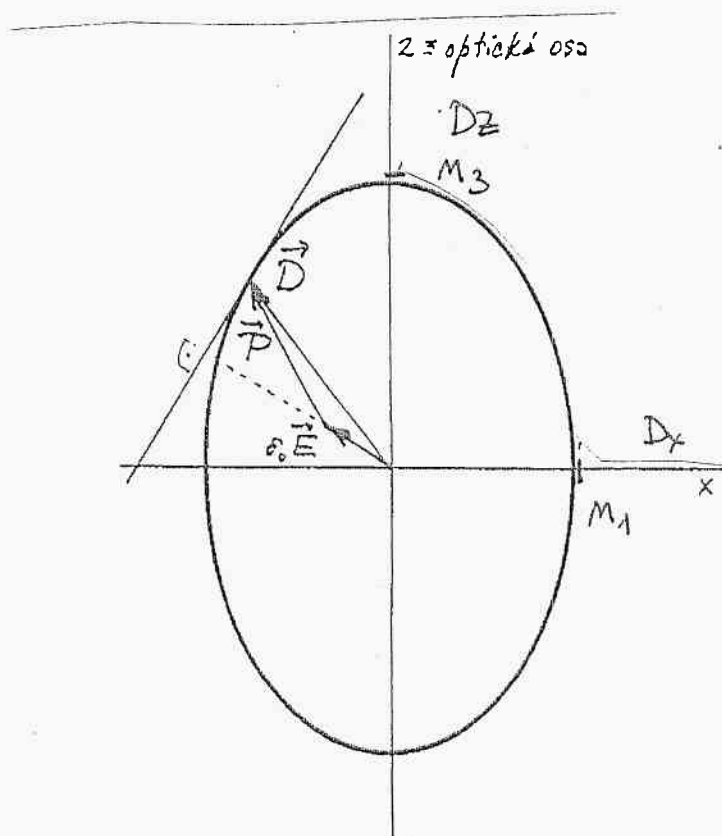
$$\epsilon_2 = n_2^2$$

$$\epsilon_3 = n_3^2$$

$$\frac{D_x^2}{m_1^2} + \frac{D_y^2}{m_1^2} + \frac{D_z^2}{m_3^2} = 2\epsilon_0 W_e$$

Normalizace  $2\epsilon_0 W_e = 1$

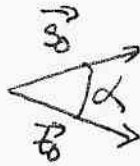
$$\Rightarrow \frac{D_x^2}{m_1^2} + \frac{D_y^2}{m_1^2} + \frac{D_z^2}{m_3^2} = 1$$



## Dodatek

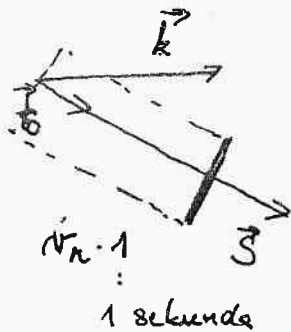
Odvození vztahu pro rychlost šíření energie

$$v_{ve} = \frac{v_f}{\cos \alpha}$$



$\vec{v}_r$  -- naprsková rychlost

Za jednotku času vyteče jednotkovým průřezem energie obsažená v délce  $v_r$  a jednotkovému průřezu



$$\vec{S} = \vec{E} \times \vec{H} \quad \text{Poyntingův vektor}$$

$$\vec{S} = w \cdot \vec{v}_r$$

$w$  ... objemová hustota energie

$$w = \frac{1}{2} \vec{E} \cdot \vec{D} + \frac{1}{2} \vec{H} \cdot \vec{B}$$

... v tomto zápisu všechny veličiny reálné!

$$\vec{E} = \vec{E}_0 \cos(\vec{k} \cdot \vec{r} - \omega t)$$

$$\vec{B} = \vec{B}_0 \cos(\vec{k} \cdot \vec{r} - \omega t)$$

$$\text{rot } \vec{E} = - \frac{\partial \vec{B}}{\partial t}$$

$$\vec{k} \times \vec{E} = -(-\omega) \vec{B} = \omega \vec{B}$$

$$\text{rot } \vec{H} = \frac{\partial \vec{D}}{\partial t}$$

$$\vec{k} \times \vec{H} = -\omega \vec{D}$$

$$\vec{D} = -\frac{1}{\mu_0 \omega^2} (\vec{k} \times (\vec{k} \times \vec{E}))$$

$$\vec{H} = \frac{1}{\mu_0 \omega} (\vec{k} \times \vec{E})$$

$$w_e = \frac{1}{2} \vec{E} \cdot \vec{D} = \frac{1}{2} \cdot \left( -\frac{1}{\omega} \vec{E} \cdot (\vec{k} \times \vec{H}) \right)$$

$$= \frac{1}{2} \cdot \frac{1}{\omega} \vec{E} \cdot (\vec{H} \times \vec{k}) = \frac{1}{2} \cdot \frac{1}{\omega} \underbrace{(\vec{E} \times \vec{H})}_{\vec{S}} \cdot \vec{k} = \frac{\vec{k}}{2\omega} (\vec{E} \times \vec{H})$$



$$W_m = \frac{1}{2} \vec{H} \cdot \vec{B} = \frac{1}{2\omega} \vec{H} \cdot (\vec{k} \times \vec{E}) = -\frac{1}{2\omega} \vec{H} \cdot (\vec{E} \times \vec{k}) =$$

$$= -\frac{1}{2\omega} (\vec{H} \times \vec{E}) \cdot \vec{k} = \frac{1}{2\omega} (\vec{E} \times \vec{H}) \cdot \vec{k} = \frac{\vec{k}}{2\omega} (\vec{E} \times \vec{H}) = W_e$$

$$W = W_e + W_m = \frac{\vec{k}}{\omega} (\vec{E} \times \vec{H}) = \frac{1}{\omega} \vec{k} \cdot \vec{S} = \frac{1}{\omega} |\vec{k}| |\vec{S}| \cos \alpha$$

$$|\vec{k}| = \frac{\omega}{c} \cdot n =$$

Papruskova' nyehlat  $\vec{v}_r = \frac{\vec{S}}{\omega} \quad |\vec{v}_r| = \frac{|\vec{S}|}{\omega}$

$$|\vec{v}_r| = v_r = \frac{1}{\omega} \cdot \frac{\omega}{c} \cdot \frac{n \cdot |\vec{S}|}{|\vec{S}| \cos \alpha} = \frac{n}{c} \cdot \frac{1}{\cos \alpha} = \frac{v_g}{\cos \alpha}$$

$$v_r = \frac{v_g}{\cos \alpha} \quad , \quad v_r > v_g$$

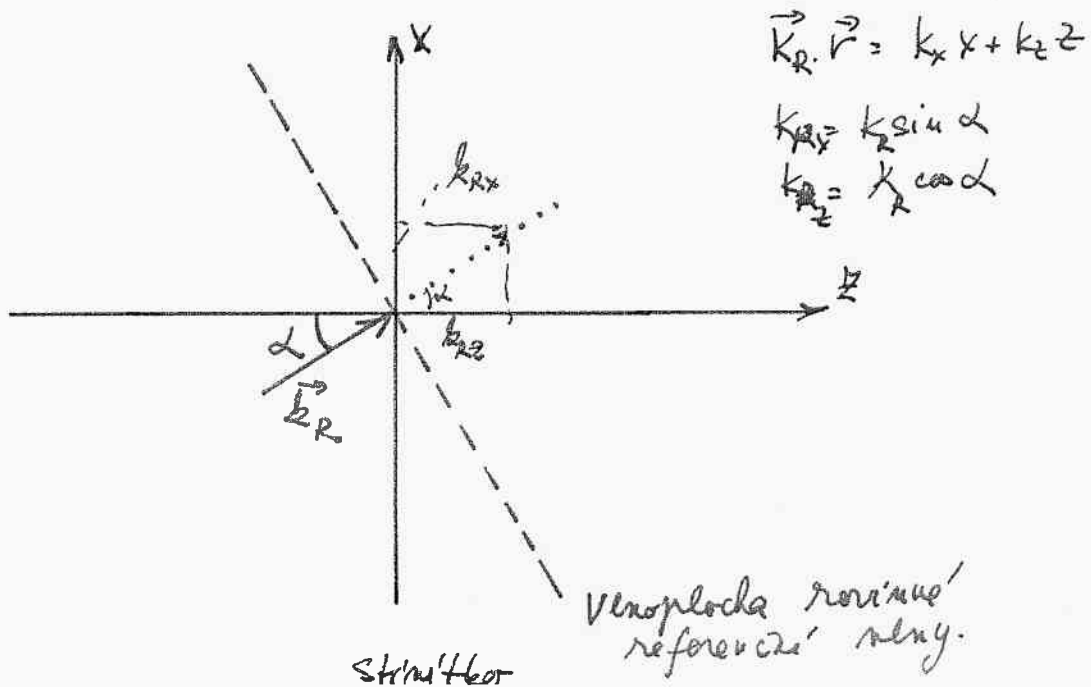
# Holografie

Klasická fotografie - zaznamená intenzitu světla (rozložení vlnového pole) na ploše filmu nebo detektoru.

Hologram - je záznamována nejen intenzita, ale i fáze. Při rekonstrukci hologramu vidí pozorovatel obraz vnitřního prostoru hloubky a perspektivy. Při záznamu fáze je třeba přenést informaci o fázi na modulaci amplitudy. - k tomu se využívá interference. Světelná vlna obsahující informaci o scéně se nechá interferovat s koherentní referenční vlnou. Interferenční obrazec obsahuje informaci o relativní fázi záznamované vlny vůči vlně referenční.

Fáze vlny  $\vec{k}_r \cdot \vec{r} = k_x x + k_y y + k_z z$  .. ref. vlna

Pro jednodušnost budeme dále pracovat ve 2D prostoru, zvolíme rovinnu xz. Pak je rovina stínítka rovina xy



Fáze na světlu  $x$  (na filmu) je  $k_R x \sin \alpha \approx k_R x \alpha$

$$\tilde{E}_R(x) = A_R e^{i(k_R x \alpha - \omega t)} = A_R e^{i(\varphi - \omega t)}$$

$\varphi = \text{const}$  referenční vlna rovinná, je  $A_R$  konstanta!

Fáze  $\varphi$  je funkce úhlu dopadu rovinné vlny na film

Signální vlna .. obecně složitě pole. Pro popis principu budeme předpokládat jednodušší tvar (nejpř. kulová vlna)

$$\tilde{E}_S(x) = A_S e^{i(\theta - \omega t)} \quad \theta = f(x, y)$$

Signální vlna  $A_S = f(x, y)$

Fáze  $\theta$  opět funkce úhlu dopadu signální vlny na film.  $\theta = k_S x \sin \beta \approx k_S x \beta$

Intenzita světla na stínítku je pod vlněnou

$$I_S \propto \tilde{E}_F \tilde{E}_F^* \quad \tilde{E}_F = \tilde{E}_R + \tilde{E}_S \quad \tilde{E}_F \text{ .. vy'složené pole na stínítku}$$

$$\begin{aligned} & (\tilde{E}_R + \tilde{E}_S) \cdot (\tilde{E}_R^* + \tilde{E}_S^*) = \tilde{E}_R \tilde{E}_R^* + \tilde{E}_R \tilde{E}_S^* + \tilde{E}_S \tilde{E}_R^* + \tilde{E}_S \tilde{E}_S^* = \\ & = A_R^2 + A_S^2 + A_R A_S e^{i(\varphi - \omega t)} e^{-i(\theta - \omega t)} + A_R A_S e^{-i(\varphi - \omega t)} e^{i(\theta - \omega t)} = \\ & = A_R^2 + A_S^2 + e^{i(\varphi - \theta)} A_R A_S + A_R A_S e^{i(\theta - \varphi)} = \\ & = I_R + I_S + A_R A_S e^{i(\varphi - \theta)} + A_R A_S e^{i(\theta - \varphi)} \end{aligned}$$

Tímto rozložením intenzity je exponovaná film.  
(Signální vlna je otevřená i funkce y)

Propustnost filmu je otevřená  $t(x,y)$

$$t(x,y) = t_0 - a I_f(x,y)$$

Koeficient vyjadruje zářivost filmu

Osvětíme-li nyní výsledný hologram za ideálních podmínek jako při jeho exponaci pouze referenční vlnou dopadající ve stejném směru, je pole šteré vlnové po průchodu referenční vlny hologramem

$$\begin{aligned} \tilde{E}_H &= t(x,y) \tilde{E}_R = t_0 \tilde{E}_R - a \{ (A_R^2 + A_S^2) \tilde{E}_R + \\ &+ A_R^2 A_S e^{i(\varphi - \theta)} e^{i(\varphi - \omega t)} + A_R^2 A_S e^{i(\theta - \varphi)} e^{i(\varphi - \omega t)} \} = \\ &= \underbrace{t_0 \tilde{E}_R}_{(1)} + a \{ \underbrace{(A_R^2 + A_S^2) \tilde{E}_R}_{(2)} + \underbrace{A_R^2 A_S e^{i(2\varphi - \theta - \omega t)}}_{(3)} + \\ &\quad + \underbrace{A_R^2 A_S e^{i(\theta - \omega t)}}_{(4)} \} \end{aligned}$$

(1) + (2) -- Vlna ve směru šíření původní referenční vlny, nese každou informaci

(3) ~  $A_R^2 A_S e^{i(2\varphi - \theta - \omega t)}$  Vlna fázově posunutá vůči původní signální vlně.

Signální vlna  $\sim e^{i(\theta - \omega t)}$

2 Co znameno' znamena znaménka ve fázi

$\theta \rightarrow -\theta$  ne vlně 3?

Signální vlna  $\sim \text{Re} \{ e^{i(\theta - \omega t)} \} = \cos(\theta - \omega t)$

Vlna 3  $\sim \text{Re} \{ e^{i(-\theta - \omega t)} \} = \cos(-\theta - \omega t) =$   
 $= \cos(\theta + \omega t)$

V kulové vlně  $\theta = 2\pi$

$\cos(kr - \omega t)$  ... Vlna expandující od středu  
 $r=0$

$$\begin{aligned} \cos(kr - \omega t) &= \cos\left(\frac{2\pi}{\lambda} r - \frac{2\pi}{T} t\right) = \cos\left(\frac{2\pi}{\lambda} \left(r - \frac{\lambda}{T} t\right)\right) = \\ &= \cos\left(\frac{2\pi}{\lambda} (r - vt)\right) \end{aligned}$$

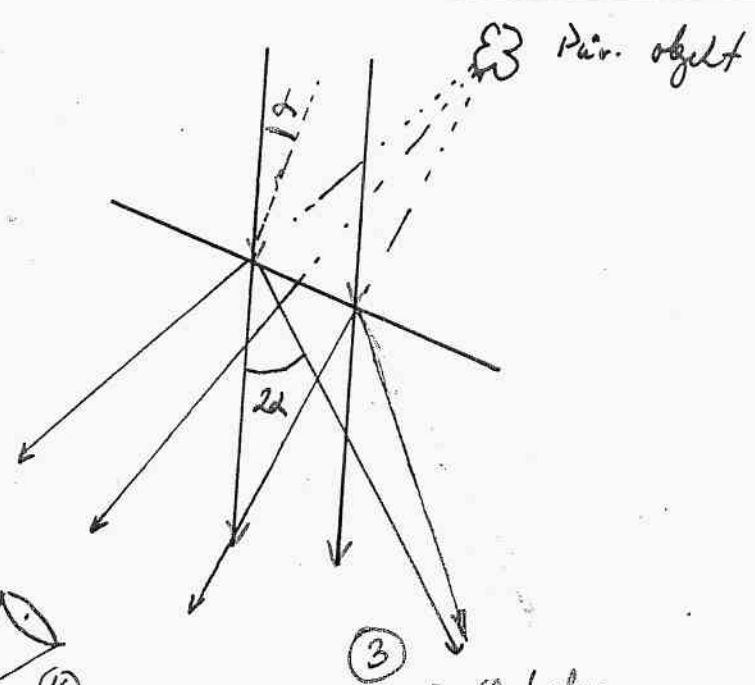
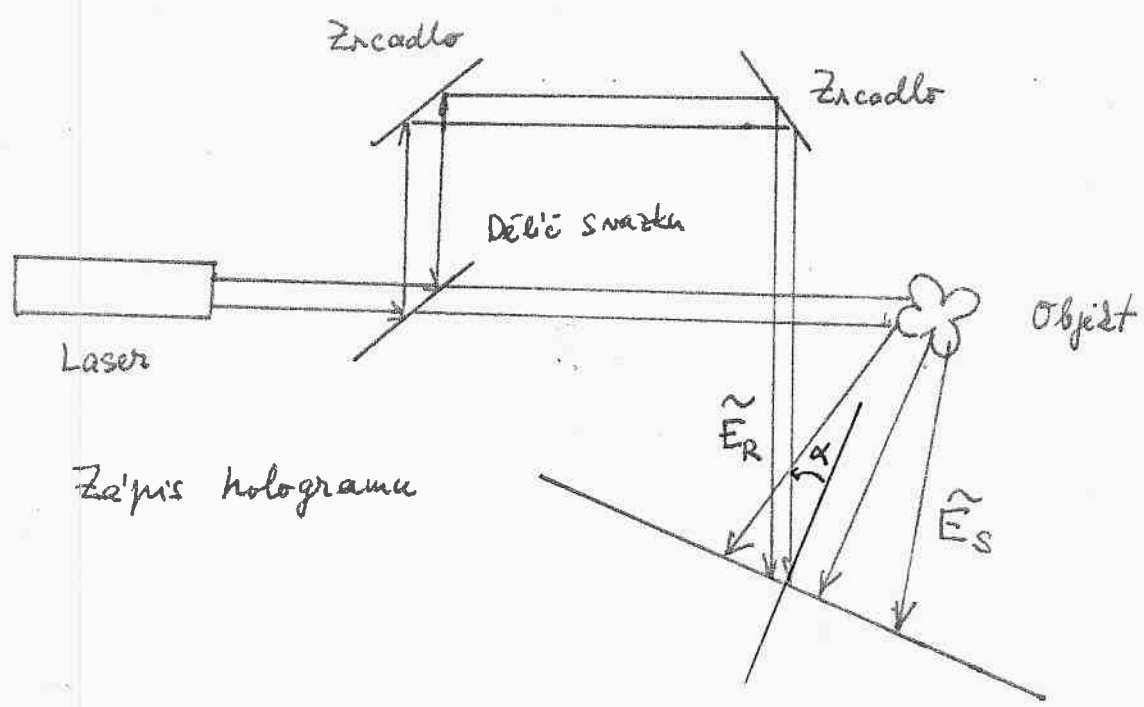
Definujeme - li:  $v > 0$ , jestliže se  $r$  zvětšuje, pak  
 je' pro  $t_2 > t_1$   $vt_2 > vt_1$ , a proto

$v_2 > v_1$ , aby se fázová  $r - vt$  a tím i fáze  
 zachovávaly při šíření (definice fázové rychlosti)

V případě  $\cos(kr + \omega t) = \cos\left(\frac{2\pi}{\lambda} (r + vt)\right)$  je  
 tomu naopak - jedná se tedy o vlnu  
 sbíhavou.

$\Rightarrow$  Vlna 3 je sbíhavá kulová vlna

Posun fáze o  $2\varphi$  se rovná ③ znamena  
 změnu svému šířeni o  $2d$  ( $\varphi = k \lambda x \sin \alpha =$   
 $= k \lambda x d$ )



Pozorovatel v  
 místě A vidí  
 virtuální obraz  
 v místě přirozeného  
 předmětu.

A  
 Virtuální  
 obraz ④

③  
 Reálný obraz  
 (střed paprsky)

Zobrazení hologramu

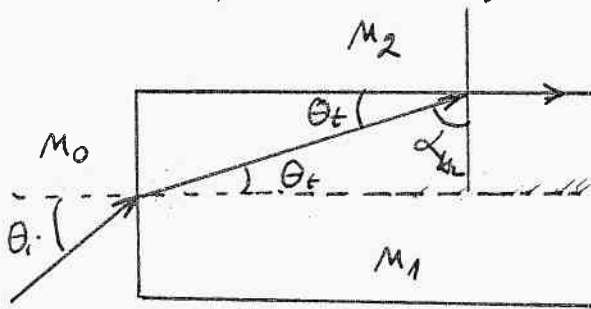
# Základy vládnové optiky

(1)

optická vlákna ... vedení světelných signálů  
 Vedení světla je zajištěno tím, že dochází  
 k úplnému odrazu na rozhraní vlákna a okolí:

$$\Rightarrow n_1 > n_0$$

$n_1$  ... index lomu vlákna  
 $n_2$  ... index lomu pláště,  $n_2 < n_1$



$\theta_i$  ... úhel dopadu  
 na povrch vlákna

$\theta_t$  ... úhel lomu

$\alpha$  ... úhel dopadu na  
 stěnu vlákna

Pro uložení je nutné, aby

$$\alpha > \alpha_{kr}$$

$$n_1 \sin \alpha_{kr} = n_2 \sin \frac{\pi}{2}$$

$$\Rightarrow \sin \alpha_{kr} = \frac{n_2}{n_1}$$

$\theta_i < \theta_{max}$  (akceptační úhel)

- aby na stěně vlákna došlo k úplnému  
 odrazu

$$\theta_t + \alpha = \frac{\pi}{2}$$

$$n_0 \sin \theta_i = n_1 \sin \theta_t$$

$$n_0 \sin \theta_i = n_1 \sin \left( \frac{\pi}{2} - \alpha \right) =$$

$$= n_1 \cos \alpha$$

$$n_0 \sin \theta_{max} = n_1 \cos \alpha_{kr}$$

$$n_0^2 \sin^2 \theta_{max} = n_1^2 (1 - \sin^2 \alpha_{kr})$$

$$n_0^2 \sin^2 \theta_{max} = n_1^2 \left( 1 - \frac{n_2^2}{n_1^2} \right)$$

$$= n_1^2 - n_2^2$$

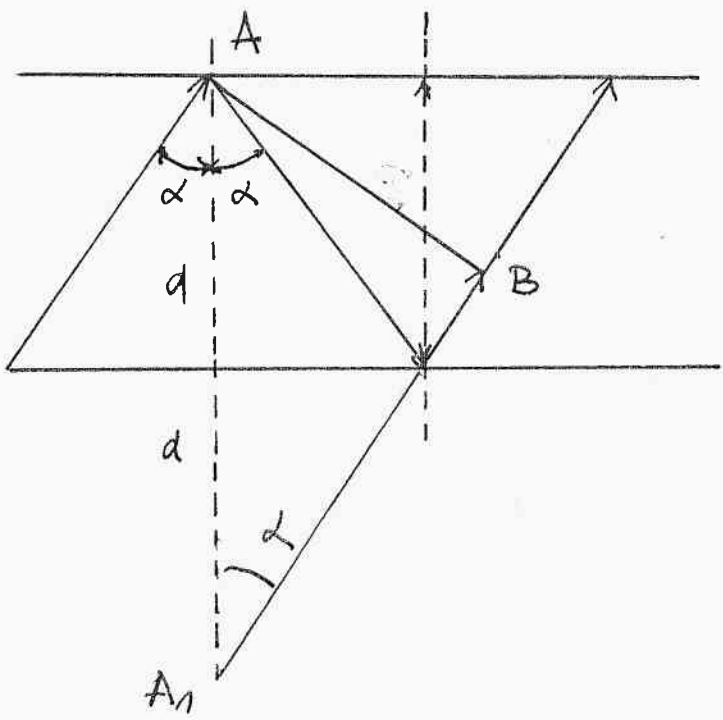
Velikost  $n_0 \sin \theta_{max} = NA$

maximální numerická  
 apertura vlákna

$$NA = \sqrt{n_1^2 - n_2^2}$$

V optické mřížce se lze velkých zřet mohou  
sřít jin více světelné módy

Jednoduchý model planárního vlnovodu



Body A a B leží na vlnoploše  $\perp$  na paprsku  
v bodě A. Geometrická délka paprsku mezi  
body A a B je rovna  $A_1B$ .

$$A_1B = 2d \cos \alpha$$

Vlny se vlnovodem během šíření ztrácejí  
malých fází šíření a dále do dohledu  
zvětšuje fází  $\Delta \varphi$  v důsledku odrazu na  
optický vlnovodní prostředí pod úhlem  $\alpha$  měřeno  
měř je. Ztrátový úhel.



(3)

Podmínka pro dobré schéma je, aby se po odrazech  
mlhy setřivaly ne fáze, tj. aby celkový měřič  
fáze byl  $2\pi$ .

Drahový rozdíl  $\dots 2d \cos \alpha$

Fázový měřič schématu  $2d \cos \alpha = 2m \lambda \cos \alpha$

Celková změna fáze  $2m \lambda \cos \alpha + \Delta \varphi_{\text{odr}} = 2m\pi$

$$m = 0, 1, \dots, M$$

$m, M \in \mathbb{Z}$   $\dots M$  je max. číslo mrdou,  
který může ve mletku  
existovat

Pro jednoduchý vzhled předpokládejme

$$2m \lambda \cos \alpha \approx 2M\pi$$

$$\frac{2\pi}{\lambda_0} m d \cos \alpha \approx M\pi$$

$$M \approx \frac{2m d \cos \alpha}{\lambda_0}$$

$$\text{maximální } \theta_{\max} = m \cos \alpha$$

$$\frac{2}{\lambda_0} d \cdot \frac{m}{M} \cdot \frac{M}{m} \sin \theta_{\max} \approx M$$

$$M_0 \sin \theta_{\max} = NA$$

$$M \approx \frac{2d NA}{\lambda_0} \quad | \text{ celá část}$$

celkový počet mrdou, které se mrvodu  
mohou existovat roste s poměrem  $d/\lambda_0$

Důležitým parametrem charakterizující vlásku je útlum - ztráty v důsledku rozptylu a absorpce

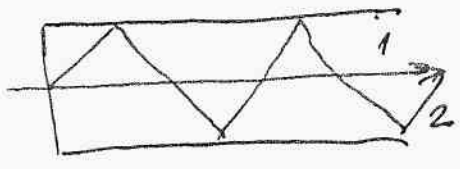
- $P_1$  ... světelný výkon na vstupu do vlásky
- $P_2$  ... světelný výkon na výstupu z vlásky

$$\text{útlum} = 10 \log_{10} \left( \frac{P_1}{P_2} \right)$$

útlum se obvykle vztahuje na délku vlásky 1 km.  
 křemenná optická vlákna mají typické hodnoty útlumu 0,17-0,25 dB / km pro vlnovou délku 1,55  $\mu\text{m}$ .

### Typy disperze ve vláskách

- modální - způsobená časovým zpožděním daným dráhou vlnění jednotlivých módů. Jednotlivé módy dorazí na konec vlásky v různých časech to vede ke změně tvaru pulsu
- chromatická disperze - v důsledku závislosti indexu lomu  $n$  na vlnové délce  $\lambda$ . Každý mód tedy se šíří jinou rychlostí a na konec vlásky dorazí v různých časech. To opět vede k disperzi a změně tvaru pulsu



Paprsky 1 a 2  
 - různé optické dráhy